

# 激发双参数变形奇偶相干态的压缩特性\*

黄纯青<sup>1</sup> 江俊勤<sup>2</sup>

1(佛山科学技术学院物理系 佛山 528000)

2(广东教育学院物理系 广州 510303)

**摘要** 研究了激发奇  $qs$  相干态  $a_{qs}^{+m} |\alpha\rangle_{qs}^o$  和激发偶  $qs$  相干态  $a_{qs}^{+m} |\alpha\rangle_{qs}^e$  的压缩特性, 数值计算了参数  $m, s$  和  $q$  对  $qs$  压缩函数的影响。结果表明:(1)当  $q$  或  $s$  偏离 1 较远时, 态  $a_{qs}^{+m} |\alpha\rangle_{qs}^o$  和  $a_{qs}^{+m} |\alpha\rangle_{qs}^e$  都能呈现出强烈的  $qs$  压缩, 而且随着  $r^2$  的增大  $qs$  压缩函数出现振幅和周期都递增的振荡现象, 其振幅不但随  $q$  或  $s$  的减小而急剧增大, 而且也随着  $m$  的增大而急剧增大, 其周期随  $q$  或  $s$  的减小而增大但与  $m$  无关, 从控制光场的压缩效应来看, 场模上光子数增加数  $m$  可作为第三个独立的调节参数来使用;(2)对于大多数  $r, qs$  压缩函数对  $s$  的敏感度大于对  $q$  的敏感度, 即通过调节参数  $s$  来控制光场的压缩效应要比通过调节参数  $q$  更有效。

**关键词** 奇偶  $qs$  相干态 激发态 压缩特性  $qs$  压缩函数

## 1 引言

近年来, 量子群和量子代数由于在物理学的许多领域中有着广泛的应用前景, 而受到数学和物理学工作者的重视<sup>[1]</sup>。在原子核物理学中, 量子群理论的  $q$  变形转子模型可用于描述原子核转动谱<sup>[2,3]</sup>; 在量子光学中, 王伯发和匡乐满首先构造并研究了单参数奇偶  $q$  相干态<sup>[4-7]</sup>; 但从物理应用的角度来看, 多个形变参数的量子代数、多参数变形振子及多参数相干态具有更广泛的物理内涵, 因此双参数形变振子及奇偶  $qs$  相干态的研究也受到人们的重视<sup>[8-10]</sup>。

最近, 我们把 Agarwal 提出的在相干态上重复作用玻色产生算符构造新量子态的方法<sup>[11]</sup> 推广到单参数奇偶  $q$  相干态和双参数变形奇偶  $qs$  相干态上, 引入了激发奇偶  $q$  相干态<sup>[12,13]</sup> 和激发奇偶  $qs$  相干态<sup>[14]</sup>。

压缩效应是量子光场所特有的非经典现象之一, 它是通过比相干态还要低的噪音分量来体现光场的非经典特性的。本文在文献[14]的基础上进一

步研究激发奇  $qs$  相干态和激发偶  $qs$  相干态的压缩特性, 并数值计算参数  $m, s$  和  $q$  对  $qs$  压缩函数的影响。这将有助于了解双参数形变电磁场的量子特性。

## 2 激发双参数变形奇偶相干态

激发奇  $qs$  相干态(用上标 o 表示)和激发偶  $qs$  相干态(用上标 e 表示)定义为<sup>[14]</sup>

$$|\alpha, m\rangle_{qs}^o = C_m^o a_{qs}^{+m} |\alpha\rangle_{qs}^o = \sum_{n=0}^{\infty} \frac{\alpha^{2n+1}}{\sqrt{[2n+1]_q!}} \sqrt{\frac{[2n+1+m]_q!}{[2n+1]_q!}} |2n+1+m\rangle_{qs}, \quad (1)$$

$$|\alpha, m\rangle_{qs}^e = C_m^e a_{qs}^{+m} |\alpha\rangle_{qs}^e = \sum_{n=0}^{\infty} \frac{\alpha^{2n}}{\sqrt{[2n]_q!}} \sqrt{\frac{[2n+m]_q!}{[2n]_q!}} |2n+m\rangle_{qs}, \quad (2)$$

式中  $\alpha = re^{i\theta}$  ( $r$  为压缩参量,  $\theta$  为相位角),  $q$  和  $s$  为两个变形参数;  $a_{qs}^+$  为  $qs$  变形玻色产生算符, 它与湮

没算符  $a_{qs}$  以及粒子数算符  $N_{qs}$  满足如下对易关系:

$$a_{qs}a_{qs}^+ - s^{-1}qa_{qs}^+a_{qs} = (sq)^{-N_{qs}}, \quad (3)$$

$$[N_{qs}, a_{qs}] = -a_{qs}, [N_{qs}, a_{qs}^+] = a_{qs}^+. \quad (4)$$

$[n]_q!$  定义为

$$[n]_q! = [n]_q[n-1]_q \cdots [1]_q, \quad (5)$$

$$[n]_q = ((s^{-1}q)^n - (sq)^{-n})/(s^{-1}q - s^{-1}q^{-1}). \quad (6)$$

由于  $[n]_{1/q} = [n]_q$ , 所以只须考虑  $0 < q \leq 1$ . 为了保持奇偶性不变, 取  $m = 2, 4, 6, \dots$ ; 当  $m = 0$  时, (1) 和 (2) 式还原为奇偶  $qs$  相干态.  $C_m^o$  和  $C_m^e$  为归一化常数

$$(C_m^o)^{-2} = \sum_{n=0}^{\infty} \frac{(r^2)^{2n+1}}{[2n+1]_q!} \times \frac{[2n+1+m]_q!}{[2n+1]_q!},$$

$$(C_m^e)^{-2} = \sum_{n=0}^{\infty} \frac{(r^2)^{2n}}{[2n]_q!} \times \frac{[2n+m]_q!}{[2n]_q!}.$$

### 3 激发双参数变形奇偶相干态的压缩特性

类似于普通单模电磁场压缩的定义, 对于  $qs$  电磁场可由  $a_{qs}^+$  和  $a_{qs}$  定义两个算符

$$X_1 = (a_{qs}^+ + a_{qs})/2, \quad X_2 = i(a_{qs}^+ - a_{qs})/2. \quad (8)$$

由  $[X_1, X_2] = \frac{i}{2} [a_{qs}, a_{qs}^+]$  容易得如下的测不准关系

$$\begin{aligned} {}_q\langle (\Delta X_1)^2 \rangle_{qs} &\langle (\Delta X_2)^2 \rangle_{qs} \geq \\ \frac{1}{4} |{}_q\langle [X_1, X_2] \rangle_{qs}|^2 &= \frac{1}{16} |{}_q\langle [a_{qs}, a_{qs}^+] \rangle_{qs}|^2 \end{aligned} \quad (9)$$

如果

$$\Delta_k = {}_q\langle (\Delta X_k)^2 \rangle_{qs} - \frac{1}{4} |{}_q\langle [a_{qs}, a_{qs}^+] \rangle_{qs}|^2 < 0, \quad (10)$$

则称  $X_k$  分量 ( $k = 1, 2$ ) 存在  $qs$  压缩.  $\Delta_k$  称为  $qs$  压缩函数.

对于态  $|\alpha, m\rangle_{qs}^e$  和态  $|\alpha, m\rangle_{qs}^o$ , 有

$$\begin{aligned} \Delta_1^e &= \frac{1}{4} \left\{ {}_q\langle \alpha, m | (a_{qs}^{+2} + a_{qs}^2) | \alpha, m \rangle_{qs}^e + \right. \\ &\quad {}_q\langle \alpha, m | a_{qs}^+ a_{qs} | \alpha, m \rangle_{qs}^e + \\ &\quad \left. {}_q\langle \alpha, m | a_{qs} a_{qs}^+ | \alpha, m \rangle_{qs}^e \right\} - \\ &\quad \frac{1}{4} |{}_q\langle \alpha, m | a_{qs} a_{qs}^+ | \alpha, m \rangle_{qs}^e|, \end{aligned} \quad (11a)$$

$$\Delta_1^o = \frac{1}{4} \left\{ {}_q\langle \alpha, m | (a_{qs}^{+2} + a_{qs}^2) | \alpha, m \rangle_{qs}^o + \right.$$

$$\begin{aligned} &{}_q\langle \alpha, m | a_{qs}^+ a_{qs} | \alpha, m \rangle_{qs}^o + \\ &{}_q\langle \alpha, m | a_{qs} a_{qs}^+ | \alpha, m \rangle_{qs}^o \} - \\ &\quad \frac{1}{4} |{}_q\langle \alpha, m | a_{qs} a_{qs}^+ | \alpha, m \rangle_{qs}^o| - \\ &\quad {}_q\langle \alpha, m | a_{qs}^+ a_{qs} | \alpha, m \rangle_{qs}^o |, \end{aligned} \quad (11b)$$

其中

$$\begin{aligned} {}_q\langle \alpha, m | a_{qs}^+ a_{qs} | \alpha, m \rangle_{qs}^e &= (C_m^e)^2 \sum_{n=0}^{\infty} \frac{x^{2n}}{[2n]_q!} \times \\ &\quad \frac{[2n+m]_q!}{[2n]_q!} \times [2n+m]_q, \end{aligned} \quad (12a)$$

$$\begin{aligned} {}_q\langle \alpha, m | a_{qs}^+ a_{qs} | \alpha, m \rangle_{qs}^o &= (C_m^o)^2 \sum_{n=0}^{\infty} \frac{x^{2n+1}}{[2n+1]_q!} \times \\ &\quad \frac{[2n+1+m]_q!}{[2n+1]_q!} \times [2n+1+m]_q, \end{aligned} \quad (12b)$$

$$\begin{aligned} {}_{qs}\langle \alpha, m | a_{qs}^+ a_{qs}^+ | \alpha, m \rangle_{qs}^e &= (C_m^e)^2 \sum_{n=0}^{\infty} \frac{x^{2n}}{[2n]_q!} \times \\ &\quad \frac{[2n+m]_q!}{[2n]_q!} \times [2n+1+m]_q, \end{aligned} \quad (13a)$$

$$\begin{aligned} {}_q\langle \alpha, m | a_{qs} a_{qs}^+ | \alpha, m \rangle_{qs}^o &= (C_m^o)^2 \sum_{n=0}^{\infty} \frac{x^{2n+1}}{[2n+1]_q!} \times \\ &\quad \frac{[2n+1+m]_q!}{[2n+1]_q!} \times [2n+2+m]_q, \end{aligned} \quad (13b)$$

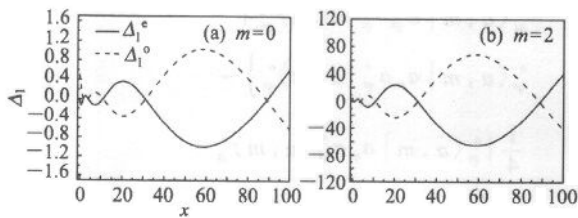
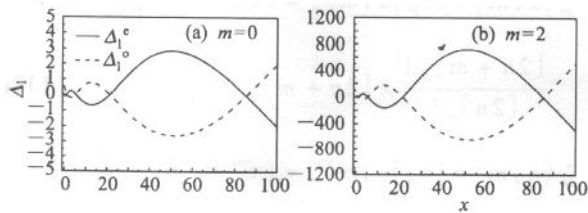
$$\begin{aligned} {}_q\langle \alpha, m | (a_{qs}^{+2} + a_{qs}^2) | \alpha, m \rangle_{qs}^e &= \\ 2x\cos(2\theta)(C_m^e)^2 \sum_{n=0}^{\infty} \frac{x^{2n}}{[2n]_q!} &\times \frac{[2n+m]_q!}{[2n]_q!} \times \\ \frac{[2n+1+m]_q[2n+2+m]_q}{[2n+1]_q[2n+2]_q}, & \end{aligned} \quad (14a)$$

$$\begin{aligned} {}_q\langle \alpha, m | (a_{qs}^{+2} + a_{qs}^2) | \alpha, m \rangle_{qs}^o &= \\ 2x\cos(2\theta)(C_m^o)^2 \sum_{n=0}^{\infty} \frac{x^{2n+1}}{[2n+1]_q!} &\times \frac{[2n+1+m]_q!}{[2n+1]_q!} \times \\ \frac{[2n+2+m]_q[2n+3+m]_q}{[2n+2]_q[2n+3]_q}, & \end{aligned} \quad (14b)$$

式中  $x = r^2$ . 当  $\theta = \pi/2$  时  $q$  压缩最大.

首先, 考虑  $q < 1$  和  $s < 1$  的情况. 图 1 和图 2 给出当  $\theta = \pi/2$ ,  $q = 0.5$ ,  $s = 0.7, 0.5, m = 0.2$  时,  $\Delta_1^e$  和  $\Delta_1^o$  随  $x (= r^2)$  变化的规律(限于篇幅, 本文只给出  $m = 0, 2$  的情况).

可见, 对于较小的  $q$  (如  $q = 0.5$ ), 态  $|\alpha, m\rangle_{qs}^e$  和  $|\alpha, m\rangle_{qs}^o$  都能呈现出强烈的压缩效应. 在  $x$  较大的区间, 随着  $x$  的增大,  $qs$  压缩函数  $\Delta_1^e$  (和  $\Delta_1^o$ ) 出现振幅和周期都递增的振荡现象, 其振幅随  $s$  减小而增大(当然也随  $q$  的减小而增大, 限于篇幅

图1 当  $s = 0.7$  时,  $\Delta_1^e$  和  $\Delta_1^o$  与  $x (= r^2)$  的关系图2 当  $s = 0.5$  时,  $\Delta_1^e$  和  $\Delta_1^o$  与  $x (= r^2)$  的关系

本文未给出)、随  $m$  的增大而急剧增大,其周期随  $s$  减小而增大,但与  $m$  无关。另外,对于相同的  $q$  和  $s$ ,不同的  $m$ ,  $qs$  压缩函数的振动规律相似。

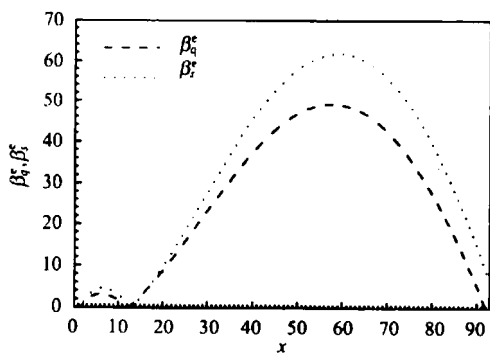
第二,讨论  $qs$  压缩函数对变形参数  $q$  和  $s$  的敏感度,可用  $qs$  压缩函数对变形参数  $q$  和  $s$  的变化率的绝对值描写,定义为

$$\beta_q = \left| \frac{\Delta_1^{q+\Delta q, s} - \Delta_1^q}{\Delta q} \right|, \quad (15)$$

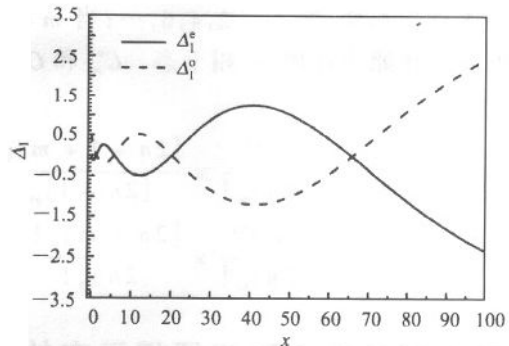
$$\beta_s = \left| \frac{\Delta_1^{q, s+\Delta s} - \Delta_1^q}{\Delta s} \right|. \quad (16)$$

$\beta$  的值越大,敏感度就越大。在数值计算中,取  $\Delta q = \Delta s = 10^{-5}$ ,而  $q (= s)$  则分别取为 0.3, 0.4, 0.5, 0.6 和 0.7。

计算结果表明,对于大多数  $r$ ,  $qs$  压缩函数对参数  $s$  的敏感度大于对参数  $q$  的敏感度。图 3 给出了当  $m = 0$ ,  $q = s = 0.4$  时,  $\beta^*$  的数值结果(对于  $\beta^o$  情况类似,限于篇幅本文未给出)。

图3  $\beta_q^*$  或  $\beta_s^*$  与  $x$  的关系

此外,考虑  $q \rightarrow 1$  和  $s < 1$  的情况,在(11)式中,取  $q = 1$ , 分别对  $m = 0, 2$ ,  $s = 0.3, 0.4, 0.5$  各种情况计算了  $\Delta_1^e$  和  $\Delta_1^o$  随  $x$  变化的关系。数值结果表明:当  $q \rightarrow 1$ , 而  $s < 1$  时,  $a_{qs}^{+m} |\alpha\rangle_{qs}^e$  和  $a_{qs}^{+m} |\alpha\rangle_{qs}^o$  退化为另一种单参数变形的激发奇偶相干态,即激发奇偶  $s$  相干态  $a_s^{+m} |\alpha\rangle_s^e$  和  $a_s^{+m} |\alpha\rangle_s^o$ , 它们同样都能呈现出强烈的压缩效应,压缩函数同样出现振荡现象。但限于篇幅只给出  $s = 0.4$ ,  $m = 0$  的结果,如图 4 所示。

图4 当  $\theta = \pi/2$ ,  $q = 1$  时,  $\Delta_1^e$  和  $\Delta_1^o$  与  $x$  的关系

## 4 结论

本文研究了激发奇  $qs$  相干态和激发偶  $qs$  相干态的压缩特性,数值计算参数  $m$ ,  $s$  和  $q$  对  $qs$  压缩函数的影响。综合计算结果,可得如下结论:

(1) 当  $q$  或  $s$  偏离 1 较远时,态  $a_{qs}^{+m} |\alpha\rangle_{qs}^e$  和  $a_{qs}^{+m} |\alpha\rangle_{qs}^o$  都能呈现出强烈的  $qs$  压缩,而且随着  $r^2$  的增大  $qs$  压缩函数出现振幅和周期都递增的振荡现象,其振幅随  $q$  或  $s$  的减小而急剧增大,而且也随着  $m$  的增大而急剧增大,其周期随  $q$  或  $s$  的减小而增大但与  $m$  无关。激发奇偶  $qs$  相干态不但把原来的双参数奇偶  $qs$  相干态<sup>[9,10]</sup> 包含在其中,而且从控制变形光场的压缩效应来看,场模上光子数增加数  $m$  可作为第 3 个独立的调节参数来使用。由于用 3 个独立参数来调节比用两个独立参数更容易(途径更多),因此这种体系一旦在实验上实现,便可通过调节 3 个独立参数  $q$ ,  $s$  和  $m$  来控制光场的某些量子特性。

(2) 对于大多数  $r$ ,当  $m$  取一定值时,  $qs$  压缩函数对  $s$  的敏感度大于对  $q$  的敏感度,即通过调节参数  $s$  来控制光场的压缩效应要比通过调节参数  $q$  更加有效一些。

## 参考文献(References)

- 1 Haret C, Rosu, Carlos Castro. Phys. Lett., 2000, A264:350—356
- 2 Raychev P P, Roussev R P, Smirnov Yu F J. Phys., 1990, G16: L137; Iwao S, Prog. Theor. Phys., 1990, 83:363
- 3 FANG Xiang-Zheng, RUAN Tu-Nan. High Energy Phys. and Nucl. Phys., 2001, 25:212—219; 2001, 25:315—321(in Chinese)  
(方向正,阮图南.高能物理与核物理,2001,25:212—219; 2001, 25:315—321)
- 4 WANG F B, KUANG L M. Phys. Lett., 1992, A169(4):225—228
- 5 KUANG L M, WANG F B. Phys. Lett., 1993, A173(3):221—227
- 6 ZHU Cong-Xu, WANG Fa-Bo, KUANG Le-Man. Acta Physica Sinica, 1994, 43(8):1262—1267(in Chinese)  
(朱从旭,王发伯,匡乐满.物理学报,1994, 43(8):1262—1267)
- 7 WANG Zhong-Qing. Acta Physica Sinica, 2001, 50(4):690—692(in Chinese)  
(汪仲清.物理学报,2001, 50(4):690—692)
- 8 ZHOU Huan-Qiang, HE Jing-Song, ZHANG Xin-Ming. High Energy Phys. and Nucl. Phys., 1995, 19:251—257(in Chinese)
- 9 WANG Ji-Suo, SUN Chang-Yong, ZHAO Ming-Jian. Acta Optica Sinica, 1997, 17(3):293—297(in Chinese)  
(王继锁,孙长勇,赵铭健.光学学报,1997, 17(3):293—297)
- 10 WANG Zhong-Qing. High Energy Phys. and Nucl. Phys., 2001, 25(12):1158—1164(in Chinese)  
(汪仲清.高能物理与核物理,2001, 25(12):1158—1164)
- 11 Agarwal G S, Tara K. Phys. Rev., 1991, A43(1):492—497
- 12 JIANG Jun-Qin. High Energy Phys. and Nucl. Phys., 2002, 26(4): 331—337(in Chinese)  
(江俊勤.高能物理与核物理,2002, 26(4):331—337)
- 13 JIANG Jun-Qin. High Energy Phys. and Nucl. Phys., 2002, 26(8): 786(in Chinese)  
(江俊勤.高能物理与核物理,2002, 26(8):786)
- 14 JIANG Jun-Qin. High Energy Phys. and Nucl. Phys., 2003, 27:15(in Chinese)  
(江俊勤.高能物理与核物理,2003, 27:15)

## Squeezing Property of the Excited Two-Parameter Deformed Even and Odd Coherent States

HUANG Chun-Qing<sup>1</sup> JIANG Jun-Qin<sup>2</sup><sup>1</sup> (Department of Physics, Foshan University, Foshan 528000, China)<sup>2</sup> (Department of Physics, Guangdong Institute of Education, Guangzhou 510303, China)

**Abstract** The squeezing property of the excited odd  $qs$ -coherent state  $a_{qs}^{+m} |\alpha\rangle_{qs}^o$  and excited even  $qs$ -coherent state  $a_{qs}^{+m} |\alpha\rangle_{qs}^e$  is numerically studied. It is shown that: (1) When the  $q$  ( $q \leq 1$ ) or  $s$  is far from 1, the state  $a_{qs}^{+m} |\alpha\rangle_{qs}^o$  and state  $a_{qs}^{+m} |\alpha\rangle_{qs}^e$  exhibit strong  $qs$ -squeezing, and as  $r^2$  increases the  $qs$ -squeezing function  $\Delta_1^r (\Delta_1^o)$  exhibits the oscillating phenomenon of increasing-amplitude and increasing-period. As  $m$  increases and  $s$  decreases, the amplitude of  $\Delta_1^r (\Delta_1^o)$  increases greatly. As  $s$  decreases, the period of  $\Delta_1^r (\Delta_1^o)$  increases but is independent of  $m$ . The  $m$  can be regarded as the third parameter for controlling the  $qs$ -squeezing. (2) In general, the  $qs$ -squeezing function  $\Delta_1^r (\Delta_1^o)$  is more sensitive to  $s$  than to  $q$ . That is, it is more resultful to control the  $qs$ -squeezing by adjusting the parameter  $s$  than by adjusting the parameter  $q$ .

**Key words** even and odd  $qs$ -coherent state, excited state, squeezing property,  $qs$ -squeezing function

Received 17 June 2002

\* Supported by Natural Science Foundation of Guangdong Province of China (020127) and Natural Science Foundation of the Education Department of Guangdong Province of China (Z02083)